

УДК 533.6.011

© 1997 г. Н.В. СМЕЛОВА

ВЗАИМОДЕЙСТВИЕ ВНЕШНЕГО СВЕРХЗВУКОВОГО ПОТОКА И ДОЗВУКОВОГО СЛОЯ У ВОЛНИСТОЙ СТЕНКИ

Получено решение задачи об обтекании сверхзвуковым потоком волнистой стенки с прилегающим к ней дозвуковым слоем. Это решение обобщает известные решения [1] линейной задачи об обтекании волнистой стенки чисто дозвуковым или чисто сверхзвуковым потоком и переходит в указанные решения в предельных случаях бесконечной или нулевой толщины пристенного слоя соответственно.

Задача о взаимодействии параллельно текущих слабо возмущенных сверхзвукового и дозвукового потоков газа – одна из давних задач газовой динамики. В 40–50-х годах она была навеяна проблемой взаимодействия сверхзвукового потока с пограничным слоем на обтекаемой поверхности.

В [2] в линейном приближении изучено взаимодействие слабого возмущения, идущего из бесконечности в однородном сверхзвуковом потоке, с границей, отделяющей его от дозвукового однородного потока. В частности, определен характер особенности в месте встречи возмущения с поверхностью раздела.

В [3] также в линейном приближении рассмотрены задача о взаимодействии возмущения, идущего из полубесконечного сверхзвукового потока, с дозвуковым слоем конечной ширины у плоской стенки, и задача о возмущении такого потока малым изломом стенки. Эти же задачи с учетом нелинейности изучены в [4], где, в частности, установлена структура особенности, рассматривавшейся для полуограниченной дозвуковой области в линейном приближении в [2]: скачок уплотнения (при сверхзвуковой скорости за ним) отражается от границы дозвукового слоя конечной ширины в виде волн разрежения, ограниченной спереди постепенно усиливающимся скачком, поглощающим эту волну.

В последнее время вновь возник интерес к подобного рода задачам в связи с другими газодинамическими проблемами. Так, в [5] рассмотрено в линейном приближении обтекание вихря дозвуковым потоком, граничащим со сверхзвуковым потоком, или с дозвуковым же потоком большей скорости.

1. Постановка задачи. Выберем ось x совпадающей с невозмущенной поверхностью раздела двух потоков, а ось y перпендикулярную ей. При $y > 0$ – невозмущенный сверхзвуковой поток. Твердую стенку опишем уравнением $y = \varepsilon \sin \alpha x - b$, где амплитуда ε – малый параметр, b – ширина невозмущенного дозвукового слоя, $2\pi/\alpha$ – длина волны возмущения стенки. При $\varepsilon \sin \alpha x - b < y < 0$ – дозвуковой поток. Все величины для сверхзвукового и дозвукового потоков будут обозначаться индексами 1 и 2 соответственно. Давление, плотность, число Маха, компоненты скорости обозначим p, ρ, M, u, v соответственно.

Представим характеристики движения в виде

$$u_{1,2} = U_{1,2}(1 + \varepsilon u'_{1,2}), \quad v_{1,2} = U_{1,2} \varepsilon v'_{1,2}$$

$$p_{1,2} = P_{1,2}(1 + \varepsilon p'_{1,2}), \quad \rho_{1,2} = R_{1,2}(1 + \varepsilon \rho'_{1,2})$$

Здесь $U_{1,2}$, $P_{1,2}$, $R_{1,2}$ – постоянные значения скорости, давления, плотности, соответствующие невозмущенным потокам.

Линеаризованные уравнения для потенциала скоростей возмущения ϕ_i , $i = 1, 2$

$$(-1)^i (1 - M_i^2) \frac{\partial^2 \phi_i}{\partial x^2} + \frac{\partial^2 \phi_i}{\partial y^2} = 0 \quad (1.1)$$

Сформулируем граничные условия. Все возмущения в потоках возникают из-за наличия волнистой стенки, поэтому приходящих из сверхзвукового потока волн не существует. На стенке поставим условие непротекания. В линеаризованном виде оно запишется

$$\frac{\partial \phi_2}{\partial y} = \alpha \cos(\alpha x), \quad y = -b \quad (1.2)$$

Поверхность раздела – тангенциальный разрыв, на котором нормальная составляющая скорости и давление непрерывны

$$\frac{\partial \phi_1}{\partial y} = \frac{\partial \phi_2}{\partial y}, \quad M_1^2 \frac{\partial \phi_1}{\partial x} = M_2^2 \frac{\partial \phi_2}{\partial x}, \quad y = 0 \quad (1.3)$$

2. Решение задачи для конечного числа волн. Сначала решим задачу для стенки с конечным числом волн, а затем полученное решение распространим на бесконечную волнистую стенку.

Стенку представим в виде

$$y = \begin{cases} -b, & \alpha x < 2\pi n \\ \epsilon \sin(\alpha x) - b, & -2\pi n < \alpha x < 2\pi k \\ -b, & \alpha x > 2\pi k \end{cases}$$

где k, n – натуральные числа.

Граничное условие (1.2) должно выполняться при $x \in (-2\pi n/\alpha, 2\pi k/\alpha)$, а при остальных x $\partial \phi_2 / \partial y_{(y=-b)} = 0$. Условия (1.3) сохраняются.

Общее решение уравнения (1.1) при $i = 1$ будет

$$\phi_1 = f(x + m_1 y) + g(x - m_1 y), \quad m_1 = \sqrt{M_1^2 - 1}$$

где f и g – произвольные функции, $f(x + m_1 y) \equiv 0$ из-за условий на бесконечности.

Потенциал ϕ_2 можно взять в виде

$$\begin{aligned} \phi_2 = & \frac{\alpha}{\pi m_2} \int_0^\infty \frac{\text{sh}(\lambda m_2 (y + b))}{\alpha^2 - \lambda^2} \left(\left(-\sin \frac{2\pi k \lambda}{\alpha} - \sin \frac{2\pi n \lambda}{\alpha} \right) \cos \lambda x + \right. \\ & \left. + \left(\cos \frac{2\pi k \lambda}{\alpha} - \cos \frac{2\pi n \lambda}{\alpha} \right) \sin \lambda x \right) d\lambda + \\ & + \int_0^\infty \text{ch}(\lambda m_2 (y + b)) (a_2(\lambda) \sin \lambda x + b_2(\lambda) \cos \lambda x) d\lambda \end{aligned} \quad (2.1)$$

$$m_2 = \sqrt{1 - M_2^2}$$

где $a_2(\lambda)$ и $b_2(\lambda)$ – функции параметра λ , которые подлежат определению. Можно легко проверить, что такая форма ϕ_2 удовлетворяет дифференциальному уравнению (1.1) при $i = 2$. Проверяя условие (1.2) для ϕ_2 , можно убедиться, что оно выполняется автоматически.

Представим ϕ_1 также в форме интеграла Фурье

$$\phi_1 = \int_0^{\infty} [a_1(\lambda) \sin(\lambda(x - m_1 y)) + b_1(\lambda) \cos(\lambda(x - m_1 y))] d\lambda \quad (2.2)$$

где $a_1(\lambda)$ и $b_1(\lambda)$ являются неопределенными.

Чтобы найти неизвестные функции $a_1(\lambda)$, $a_2(\lambda)$, $b_1(\lambda)$, $b_2(\lambda)$, подставим выражения (2.1) и (2.2) в условия (1.3) и приравняем соответствующие члены в обеих частях граничных условий. В результате получим систему из четырех уравнений относительно четырех неизвестных

$$a_1(\lambda) = -\sqrt{a} \operatorname{sh}(s\lambda) b_2(\lambda) - \frac{1}{m_1} \operatorname{ch}(s\lambda) F(\lambda), \quad b_1(\lambda) = \sqrt{a} \operatorname{sh}(s\lambda) a_2(\lambda) + \frac{1}{m_1} \operatorname{ch}(s\lambda) G(\lambda),$$

$$a_1(\lambda) = \sqrt{d} \operatorname{ch}(s\lambda) a_2(\lambda) + t \operatorname{sh}(s\lambda) G(\lambda), \quad b_1(\lambda) = \sqrt{d} \operatorname{ch}(s\lambda) b_2(\lambda) + t \operatorname{sh}(s\lambda) F(\lambda) \quad (2.3)$$

$$s = m_2 b, \quad a = \left(\frac{m_2}{m_1} \right)^2, \quad d = \frac{M_2^4}{M_1^4}, \quad t = \frac{\sqrt{d}}{m_2}$$

$$F(\lambda) = -\frac{\alpha}{\pi(\alpha^2 - \lambda^2)} \left(\sin \frac{2\pi k\lambda}{\alpha} + \sin \frac{2\pi n\lambda}{\alpha} \right)$$

$$G(\lambda) = \frac{\alpha}{\pi(\alpha^2 - \lambda^2)} \left(\cos \frac{2\pi k\lambda}{\alpha} - \cos \frac{2\pi n\lambda}{\alpha} \right)$$

Решение системы (2.3)

$$a_1(\lambda) = -\frac{2l}{(d+a)H(\lambda)} \left(\sqrt{d} \operatorname{ch}(s\lambda) F(\lambda) + \sqrt{a} \operatorname{sh}(s\lambda) G(\lambda) \right)$$

$$a_2(\lambda) = -\frac{2}{(d+a)H(\lambda)} (lF(\lambda) + r \operatorname{ch}(s\lambda) \operatorname{sh}(s\lambda) G(\lambda))$$

$$b_1(\lambda) = -\frac{2l}{(d+a)H(\lambda)} \left(\sqrt{a} \operatorname{sh}(s\lambda) F(\lambda) - \sqrt{d} \operatorname{ch}(s\lambda) G(\lambda) \right) \quad (2.4)$$

$$b_2(\lambda) = -\frac{2}{(d+a)H(\lambda)} (-lG(\lambda) + r \operatorname{ch}(s\lambda) \operatorname{sh}(s\lambda) F(\lambda))$$

$$\cos \theta = \frac{d-a}{d+a}, \quad l = \frac{\sqrt{d}}{m_1}, \quad r = \frac{m_2}{m_1^2} + \frac{d}{m_2}$$

$$H(\lambda) = \operatorname{ch}(2s\lambda) + \cos \theta$$

Задача будет решена полностью, если выражения (2.4) подставить в (2.1), (2.2) и вычислить полученные интегралы. Для ϕ_1 ($y = 0$) после простых преобразований получим

$$\phi_1(y=0) = -\frac{2l\alpha}{\pi(d+a)} \int_0^{\infty} \frac{\sqrt{d} \operatorname{ch}(s\lambda) (\cos(N\lambda) - \cos(K\lambda))}{(\alpha^2 - \lambda^2) H(\lambda)} d\lambda +$$

$$+ \frac{2l\alpha}{\pi(d+a)} \int_0^{\infty} \frac{\sqrt{a} \operatorname{sh}(s\lambda) (\sin(K\lambda) + \sin(N\lambda))}{(\alpha^2 - \lambda^2) H(\lambda)} d\lambda$$

$$N = \frac{2\pi n}{\alpha} + x, \quad K = \frac{2\pi k}{\alpha} - x$$

В Приложении изложен метод вычисления подобных интегралов. Выпишем

окончательный ответ

$$x < -\frac{2\pi n}{\alpha}$$

$$\begin{aligned} \phi_1(y=0) = & \sum_{m=0}^{\infty} (-1)^{m+1} \left(\frac{(S-C)\exp(-K\beta_+) + (C-S)\exp(N\beta_+)}{\alpha^2 + \beta_+^2} + \right. \\ & \left. + \frac{(-C-S)\exp(-K\beta_-) + (C+S)\exp(N\beta_-)}{\alpha^2 + \beta_-^2} \right) \end{aligned}$$

$$x \in (-2\pi n / \alpha, 2\pi k / \alpha)$$

$$\begin{aligned} \phi_1(y=0) = & -\frac{2l(\sqrt{d} \operatorname{ch}(s\alpha) \sin(\alpha x) + \sqrt{a} \operatorname{sh}(s\alpha) \cos(\alpha x))}{(d+a)(\operatorname{ch}(2s\alpha) + \cos \theta)} + \\ & + \sum_{m=0}^{\infty} (-1)^{m+1} \left(\frac{(S-C)\exp(-K\beta_+) + (S+C)\exp(-N\beta_+)}{\alpha^2 + \beta_+^2} + \right. \\ & \left. + \frac{(-C-S)\exp(-K\beta_-) + (C-S)\exp(-N\beta_-)}{\alpha^2 + \beta_-^2} \right) \end{aligned}$$

$$x > \frac{2\pi k}{\alpha}$$

$$\begin{aligned} \phi_1(y=0) = & \sum_{m=0}^{\infty} (-1)^{m+1} \left(\frac{(-S-C)\exp(K\beta_+) + (S+C)\exp(-N\beta_+)}{\alpha^2 + \beta_+^2} + \right. \\ & \left. + \frac{(S-C)\exp(K\beta_-) + (C-S)\exp(-N\beta_-)}{\alpha^2 + \beta_-^2} \right) \end{aligned}$$

$$\beta_+ = \frac{(2m+1)\pi + \theta}{2s}, \quad \beta_- = \frac{(2m+1)\pi - \theta}{2s}$$

$$C = \frac{l\alpha}{2s(d+a)} \frac{\sqrt{d}}{\cos(0,5\theta)}, \quad S = \frac{l\alpha}{2s(d+a)} \frac{\sqrt{a}}{\sin(0,5\theta)}$$

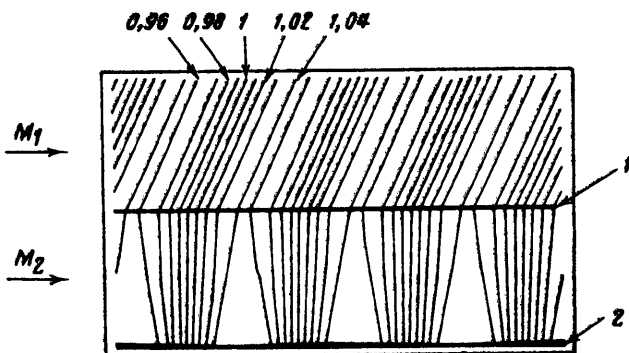
Аналогичным путём можно вычислить $\phi_2(x, y)$.

3. Распространение решения на бесконечную волнистую стенку. Ряды, входящие в выражения для ϕ_1 , равномерно сходятся и их члены непрерывны, можно перейти к пределу за знаком суммы при $n \rightarrow \infty$ и $k \rightarrow \infty$. Таким образом получим решение для бесконечной волнистой стенки

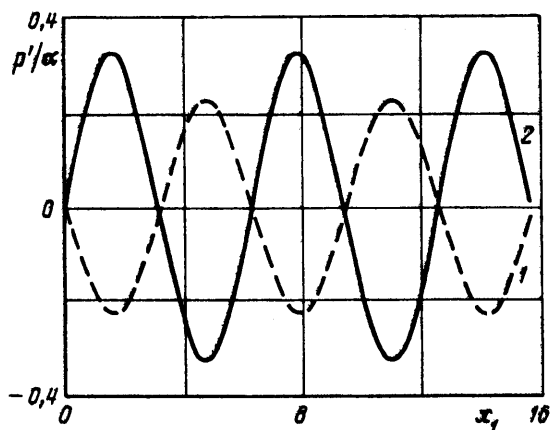
$$\phi_1 = -\frac{2l}{(a+d)H(\alpha)} (\sqrt{d} \operatorname{ch}(s\alpha) \sin[\alpha(x - m_1 y)] - \sqrt{a} \operatorname{sh}(s\alpha) \cos[\alpha(x - m_1 y)]) \quad (3.1)$$

$$\phi_2 = \frac{\operatorname{sh}(\alpha m_2 (y + b)) \cos(\alpha x)}{m_2} - \operatorname{ch}(\alpha m_2 (y + b)) \frac{2l \sin(\alpha x) + r \operatorname{sh}(2s\alpha) \cos(\alpha x)}{(a+d)H(\alpha)} \quad (3.2)$$

Отсюда получаем выражения для возмущения давления, в сверхзвуковом и



Фиг. 1. Изобары в потоке ($M_1 = 2$, $M_2 = 0,5$). 1 – линия раздела потоков, 2 – твердая стенка ($y = 0,1 \sin x - 1$)



Фиг. 2. Распределение давления возмущения ($M_1 = 2,5$, $M_2 = 0,4$, $\alpha b = 1$, $x_1 = x/b$): 1 – на контактной поверхности (штриховая линия), 2 – на твердой стенке (сплошная линия)

дозвуковом потоках соответственно

$$p'_1 = \gamma M_1^2 \frac{2l\alpha}{(d+a)H(\alpha)} (\sqrt{d} \operatorname{ch}(\alpha x) \cos[\alpha(x - m_1 y)] - \sqrt{a} \operatorname{sh}(\alpha x) \sin[\alpha(x - m_1 y)])$$

$$p'_2 = -\gamma M_2^2 \alpha \left(-\frac{\operatorname{sh}(\alpha m_2 (y+b)) \sin(\alpha x)}{m_2} - \operatorname{ch}(\alpha m_2 (y+b)) \frac{2l \cos(\alpha x) - r \operatorname{sh}(2\alpha x) \sin(\alpha x)}{(a+d)H(\alpha)} \right)$$

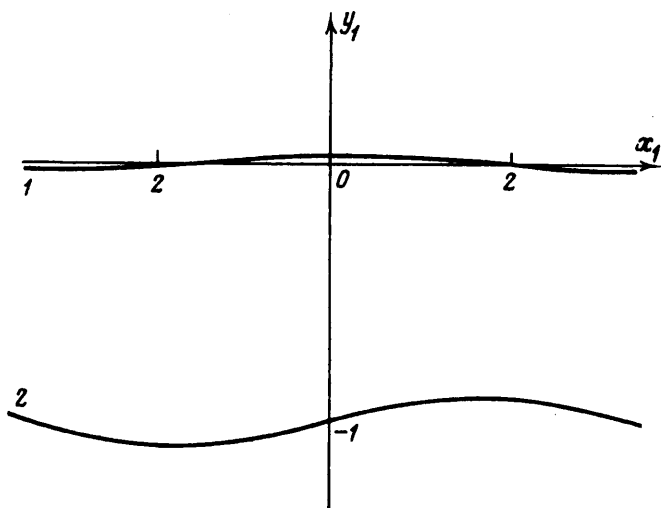
На фиг. 1 показаны изобары в потоке. Числа у изобар соответствуют значениям $1 + \epsilon p'$. Распределение давления возмущения показано на фиг. 2.

Форма контактной поверхности (фиг. 3) описывается выражением

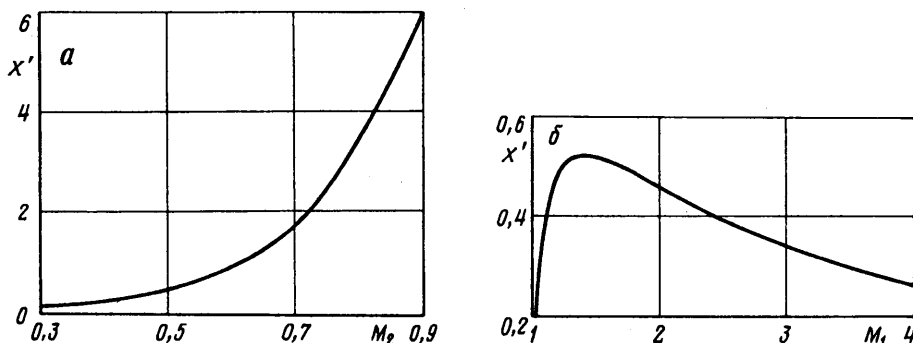
$$y = \frac{2(d \operatorname{ch}(\alpha x) \sin(\alpha x) + \sqrt{ad} \operatorname{sh}(\alpha x) \cos(\alpha x))}{(a+d)H(\alpha)}$$

Рассмотрим предельные случаи $b \rightarrow 0$ и $b \rightarrow \infty$. Устремляя ширину дозвукового слоя к нулю в выражении для ϕ_1 , получим решение для сверхзвукового обтекания волнистой стенки

$$\lim_{b \rightarrow 0} \phi_1 = -\frac{2l\sqrt{d} \operatorname{ch}(\alpha x) \sin[\alpha(x - m_1 y)]}{(d+a)(1 + \cos \theta)} = -\frac{1}{m_1} \sin[\alpha(x - m_1 y)] \quad (3.3)$$



Фиг. 3. Взаимное расположение контактной и твердой поверхности: 1 – контактная поверхность, 2 – твердая стенка ($y_1 = y/b$, $M_1 = 2$, $M_2 = 0,5$, $\alpha b = 1$)



Фиг. 4. Сила сопротивления, действующая на один период при значениях числа Маха: а – $M_1 = 2$, б – $M_2 = 0,5$ ($\alpha b = 1$)

Для того чтобы получить потенциал для дозвукового обтекания волнистой стенки, перейдем к новым координатам $y_1 = y + b$ и устремим ширину дозвукового слоя к бесконечности

$$\lim_{b \rightarrow \infty} \phi_2 = \frac{\text{sh}(\alpha m_2 y_1) \cos(\alpha x)}{m_2} - \text{ch}(\alpha m_2 y_1) \frac{r \cos(\alpha x)}{a+d} = -\frac{1}{m_2} \cos(\alpha x) \exp(-\alpha m_2 y_1) \quad (3.4)$$

Полученные выражения (3.3), (3.4) совпадают с приведенными в [1].

В заключение вычислим силу сопротивления, действующую на один период волны стенки

$$X = \int_0^{2\pi/\alpha} p_2 \frac{dy}{dx} dx = \epsilon^2 P_2 M_2^2 \alpha \frac{2\pi}{(a+d)H(\alpha)}$$

где y – форма поверхности стенки. На фиг. 4 приводится зависимость X' от значений числа Маха. За X' обозначена величина $X / (\epsilon^2 P_2 M_2^2 \alpha)$.

Приложение. Метод вычисления интегралов. Интегралы с бесконечными пределами в выражениях для потенциалов могут быть вычислены при помощи интегрирования по контуру.

Например

$$I = \int_0^{\infty} \frac{\operatorname{ch}(s\lambda)\cos(L\lambda)}{(\operatorname{ch}(2s\lambda) + \cos\theta)(\alpha^2 - \lambda^2)} d\lambda = \frac{1}{2} \operatorname{Re} \int_{-\infty}^{\infty} \frac{\operatorname{ch}(s\lambda)\exp(iL\lambda)}{(\operatorname{ch}(2s\lambda) + \cos\theta)(\alpha^2 - \lambda^2)} d\lambda$$

Рассмотрим λ как комплексную переменную и возьмем в качестве контура интегрирования действительную ось, выходящую из начала координат с выколотыми точками $+\alpha$, $-\alpha$, и полуокруг бесконечно большого радиуса в верхней полуплоскости комплексного переменного. Контур включает следующие полюсы:

$$\lambda = +\alpha, \quad \lambda = -\alpha, \quad \lambda = i \frac{(2m+1)\pi + \theta}{2s} \equiv \beta_{\pm}$$

$$m = 0, 1, 2, \dots$$

Вычеты подынтегральной функции в точках α , $-\alpha$, $i\beta_{\pm}$ равны соответственно

$$-\frac{\operatorname{ch}(s\alpha)\exp(iL\alpha)}{2\alpha(\operatorname{ch}(2s\alpha) + \cos\theta)}, \quad \frac{\operatorname{ch}(s\alpha)\exp(-iL\alpha)}{2\alpha(\operatorname{ch}(2s\alpha) + \cos\theta)}, \quad (-1)^{m+1} \frac{i\exp(-L\beta)}{4s\cos\theta/2(\alpha^2 + \beta^2)}$$

В результате получим

$$I = -\frac{\pi}{2} \frac{\operatorname{sh}(s\alpha)\cos(L\alpha)}{\alpha(\operatorname{ch}(2s\alpha) + \cos\theta)} + \frac{\pi}{4s\sin\theta/2} \left[\sum_{m=0}^{\infty} (-1)^{m+1} \frac{\exp(-L\beta_{+})}{\alpha^2 + \beta_{+}^2} - \sum_{m=0}^{\infty} (-1)^{m+1} \frac{\exp(-L\beta_{-})}{\alpha^2 + \beta_{-}^2} \right]$$

Интеграл вычислен при $L > 0$. Другие интегралы вычисляются аналогично.

Заключение. Рассмотренная задача обнаруживает характер поведения возмущений параллельных потоков газа в приближении линейной теории и обобщает известные ранее решения для чисто сверхзвуковых и дозвуковых обтеканий волнистой стенки.

Приводится решение для стенки с конечным числом волн, которое обобщается на бесконечную волнистую стенку. Полученные решения для потенциалов скоростей возмущений в сверхзвуковом (3.1) и дозвуковом (3.2) потоках позволяют выписать в явном виде выражения для других параметров.

Предложенное решение может быть использовано при расчете обтекания стенок другой формы, поскольку в рамках линейной теории решения таких задач можно получить путем суперпозиции решений задачи об обтекании синусоидальной стенки при разложении функции, описывающей форму стенки, в ряд Фурье.

СПИСОК ЛИТЕРАТУРЫ

1. Липман Г.В., Рошко А. Элементы газовой динамики. М.: Изд-во иностр. лит., 1960. 518 с.
2. Howarth L. The propagation of steady disturbances in a supersonic stream bounded on one side by a parallel subsonic stream // Proc. Cambridge Phil. Soc. 1948. V. 44. № 3. P. 380–390.
3. Tsien H., Finston M. Interaction between parallel streams of subsonic and supersonic velocities // J. Aeronaut. Sci. 1949. V. 16. № 9. P. 515–528.
4. Черный Г.Г. Влияние дозвуковой части пограничного слоя на положение скачков уплотнения // Теоретическая гидродинамика. М.: Оборонгиз, 1952. № 9. С. 63–96.
5. Бабкин Г.В., Ким А.А. Вихрь вблизи границы раздела сжимаемых потоков // Уч. зап. ЦАГИ. 1993. Т. 24. № 3. С. 23–38.

Москва

Поступила в редакцию
26.X.1995